## = ГЕОХИМИЯ =

УДК 553.055+553.43+553.462

## СОРСКИЙ Сu-Mo-ПОРФИРОВЫЙ МАГМАТИЧЕСКИЙ ЦЕНТР (КУЗНЕЦКИЙ АЛАТАУ): О СВЯЗИ БАЗИТОВ И ГРАНИТОИДОВ ПО Sm-Nd-ИЗОТОПНЫМ И ГЕОХИМИЧЕСКИМ ДАННЫМ

© 2010 г. А. П. Берзина, А. Н. Берзина, П. А. Серов, В. О. Гимон

Представлено академиком Н.Л. Добрецовым 24.03.2009 г.

Поступило 07.04.2009 г.

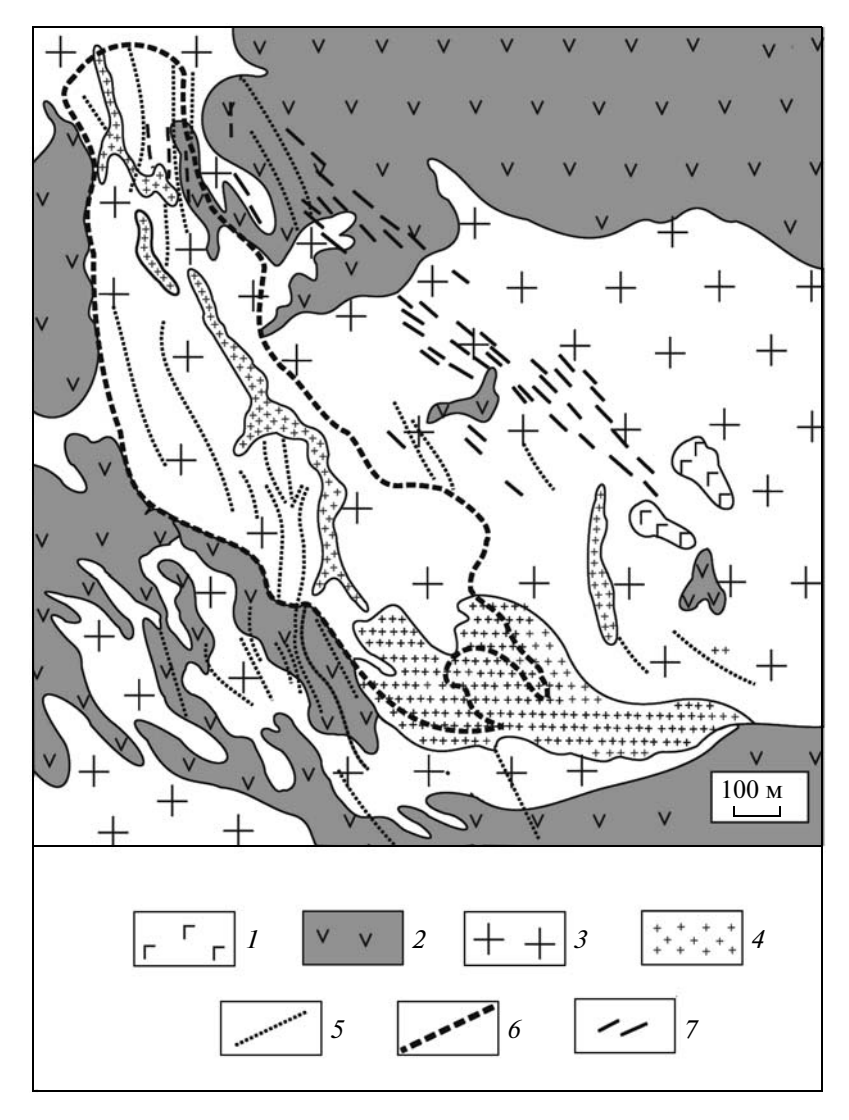
Медно-порфировые месторождения локализуются в центрах многократного проявления магматизма, тесно ассоциируя при этом с порфировыми комплексами. Системы, продуцирующие оруденение этого типа, относятся к классу мантийно-коровых, характеризуются участием в их функционировании магм, варьирующих по составу от мафитовых и промежуточных до кислых. Установление источников магм разного состава, их взаимосвязи и роли в рудообразовании - вопросы первостепенного значения при изучении таких систем. В комплексе геологических и геохимических исследований, используемых для решения таких вопросов, весьма информативным является анализ изотопного состава Nd магматических пород. В этом плане рудообразующие системы Сибири практически не изучены. В работе представлены первые данные по изотопному составу Nd пород магматического центра, вмещающего наиболее продуктивное в Алтае-Саянской складчатой области Сорское Си-Мо-порфировое месторождение. Анализ этих данных в комплексе с геохимическими позволяет лучше понять особенности развития полихронной мантийно-коровой рудно-магматической системы.

Сорский магматический центр (СМЦ), расположенный в северной части Уйбатского плутона (Кузнецкий Алатау), включает плутоногенные образования (вмещающий магматический комплекс) и локализованные в них штоки и дайки порфирового комплекса с медно-молибденовым оруденением (рис. 1). Кузнецкий Алатау (северо-западный фланг Алтае-Саянской складчатой области) интерпретируется как островодужный террейн, сложенный фрагментами позднерифейских—раннекембрийских офиолитовых ассоциаций, венд-

Институт геологии и минералогии им. В.С. Соболева Сибирского отделения Российской Академии наук, Новосибирск

Геологический институт Кольского научного центра Российской Академии наук, Апатиты Мурманской обл. кембрийских островодужных комплексов и карбонатно-терригенных отложений внутриокеанических поднятий. Коллизия террейна с Сибирским континентом в позднем кембрии—раннем ордовике сопровождалась становлением гранитоидных батолитов пестрого состава. Один из них выделяется как Уйбатский плутон. Согласно современным представлениям, развитие Алтае-Саянской области от кембрия до девона включительно во многом обусловлено воздействием серии плюмов на литосферу континентальной окраины [1] или непрерывным развитием "горячей точки" в этом временном интервале [2].

Уйбатский плутон (1500 км<sup>2</sup>) сложен породами разного состава, образующими непрерывную габбро-гранитную серию. Габброиды встречаются среди монцонитоидов и гранитов в виде останцов до 4-5 км<sup>2</sup>, сложенных преимущественно авгитамфиболовыми габбро и диоритами. За пределами плутона отмечаются небольшие массивы габбро, габбро-норитов и пироксеновых диоритов. В составе плутона преобладают породы промежуточного состава: монцодиориты, кварцевые монцодиориты и монцониты. Более поздние лейкограниты несколько уступают по объему монцонитоидам. Возраст монцонитоидов составляет 480-460 млн. лет, лейкогранитов - 440-420 млн. лет. Здесь и далее приведены геохронологические  $^{40}$ Ar $^{-39}$ Ar-датировки по [3]. Порфировый комплекс представлен дайками мелкозернистых габбро, монцодиоритов, монцонитов и сиенитов (405-402 млн. лет) и штоко- и дайкообразными телами рудоносных гранит-порфиров (389-388 млн. лет). Породы вмещающего и порфирового комплексов пересекаются многочисленными пострудными дайками диабазов, дацитовых порфиритов, плагиопорфиров и сиенит-порфиров. Эти дайки рассматриваются как комагматы девонских эффузивов близлежащих рифтогенных впадин, формировавшихся в условиях внутриплитной активности. Дайки девонского комплекса образуют пояс северо-западного простирания, прослеживающийся далеко за пределами центра. Геохронологические датировки пород поструд-



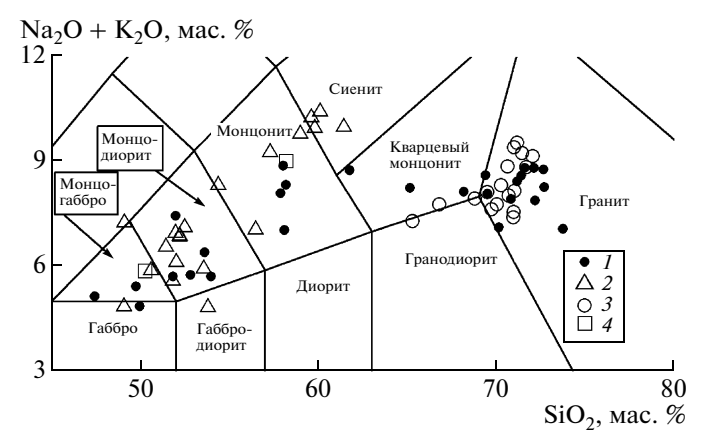
**Рис. 1.** Геологическая схема Сорского магматического центра. I-3 – вмещающий комплекс: I – габброиды, 2 – монцонитоиды, 3 – лейкограниты; 4 – гранит-порфиры рудоносного комплекса; 5 – дайки девонского комплекса; 6 – контур брекчиевых руд; 7 – кварц-молибденитовые жилы.

ных даек (диабазы — 373 млн. лет, K—Ar; сиенит-порфиры — 360 млн. лет, <sup>40</sup>Ar—<sup>39</sup>Ar) и порфирового комплекса (405—388 млн. лет) свидетельствуют о том, что рудоносный магматизм предшествовал дайкам рифтогенного этапа и проявился близко с ними во времени. Сопряженность во времени магматизма СМЦ с внутриплитной активностью в Алтае-Саянской складчатой области позволяет предполагать, что длительный многоимпульсный магматизм СМЦ инициирован воздействием мантийных плюмов на континентальную литосферу.

Временной разрыв между вмещающим и порфировым комплексами составляет около 15 млн. лет. Вместе с тем комплексы представлены породными ассоциациями, близкими по минеральному составу и петрогеохимическим характеристикам [4]. Вмещающие лейкограниты и рудоносные гра-

нит-порфиры сопровождаются однотипными гидротермальными изменениями (калишпатизацией, альбитизацией, реже серицитизацией) и характеризуются общей металлогенической специализацией на медь и молибден. С лейкогранитами ассоциируют Си-Мо-скарновая минерализация (в контакте с карбонатными толщами) и Си-Мо-рассеянное оруденение в калишпатовых метасоматитах. Становление порфирового комплекса завершилось формированием Сорского медно-молибденового месторождения.

Минеральный состав габброидов и монцонитоидов двух комплексов варьирует в широких пределах, но в целом от первых ко вторым уменьшаются содержания пироксена, амфибола, магнетита, увеличиваются количества плагиоклаза, калишпата, биотита, кварца. Следует отметить высокие содержания амфибола, особенно в габб-



**Рис. 2.** Составы магматических пород СМЦ на классификационной диаграмме ( $Na_2O + K_2O$ )— $SiO_2$  [5]. 1-4 — магматические комплексы: 1 — вмещающий, 2, 3 — порфировый: предрудные (2) и рудоносные (3) порфиры; 4 — девонские дайки.

ро вмещающего комплекса, где его количество часто превышает 50 об. %. Минеральный состав лейкогранитов и гранит-порфиров однообразен. Породы сложены плагиоклазом, калишпатом и кварцем примерно в равных количествах. Темноцветный минерал представлен биотитом, содержание которого не превышает 2%.

Породы вмещающего и порфирового комплексов относятся преимущественно к высоко-K-известково-щелочной серии. Отношение  $K_2O/Na_2O$  возрастает от габброидов (0.3—0.4) к монцонитоидам (0.6—0.8), лейкогранитам и гранит-порфирам (0.6—1.0). В лейкогранитах и гранит-порфирах коэффициенты железистости и глиноземистости составляют соответственно 0.5—0.7 и 1.0—1.1. По геохимическим характеристикам лейкограниты и гранит-порфиры относятся к I типу.

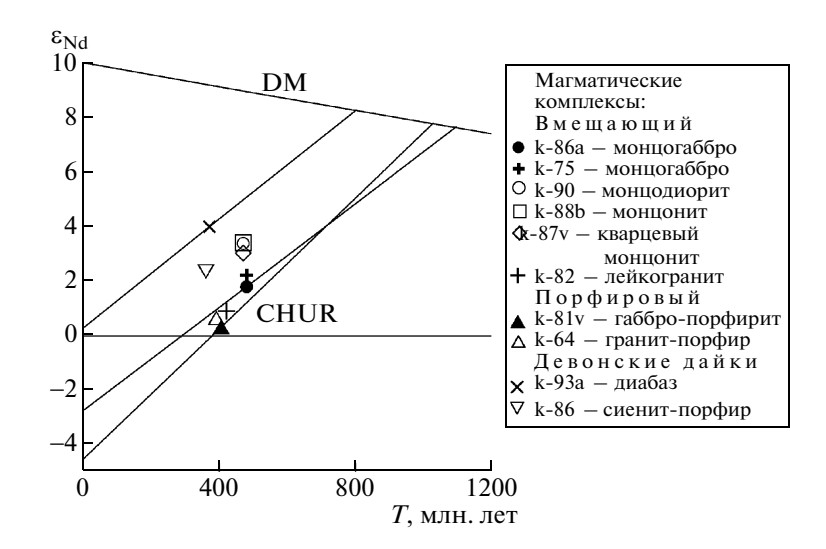
На рис. 2 лейкограниты и гранит-порфиры образуют автономное поле, смещенное относительно общей направленности, образуемой фигуративными точками габброидов и монцонитоидов вмещающего и порфирового комплексов. Этот факт допускает предположение, что лейкограниты и рудоносные гранит-порфиры генетически не связаны с предшествующими монцонитами и монцонит-порфирами. Данные по изотопному составу Nd в породах СМЦ (табл. 1, рис. 3) позволяют конкретизировать характер взаимоотношений между магмами разного состава и продуктами их кристаллизации.

Наиболее ранние образования СМЦ представлены монцогаббро k-86a и k-75. Расчет  $\varepsilon_{Nd}$  проведен на время 480 млн. лет, которое принимается как нижний возрастной предел монцогаббро [3].

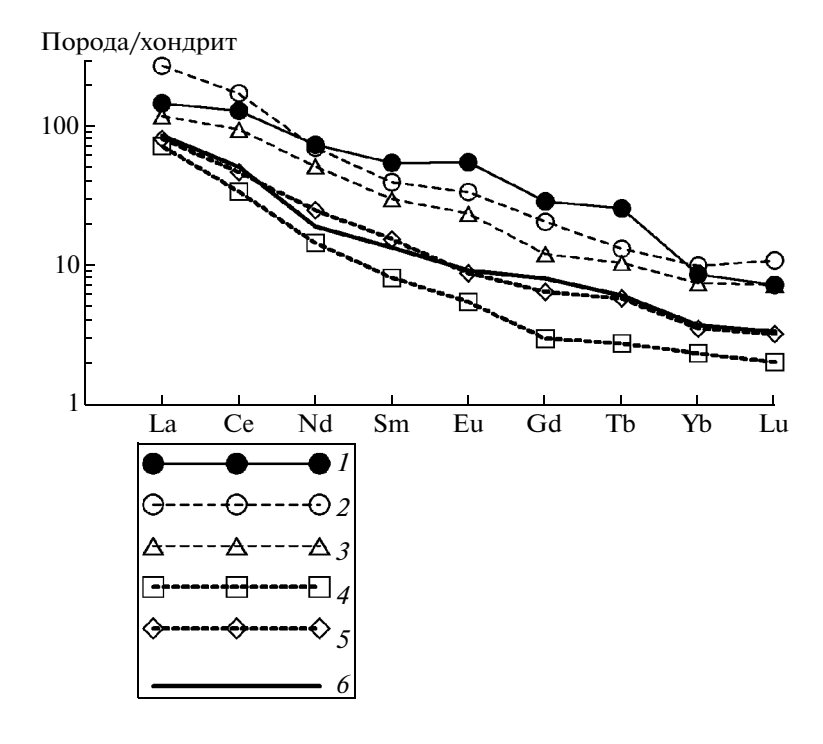
Таблица 1. Изотопный состав Sm и Nd в породах СМЦ

| №<br>пробы              | Порода               | Sm   | Nd    | <sup>147</sup> Sm/ <sup>144</sup> Nd | <sup>143</sup> Nd/ <sup>144</sup> Nd | Т,       | $\varepsilon_{\mathrm{Nd}}(T)$ | T(DM),   |
|-------------------------|----------------------|------|-------|--------------------------------------|--------------------------------------|----------|--------------------------------|----------|
|                         |                      | ppm  |       | Silly 14d                            | riu, riu                             | млн. лет | SNd(1)                         | млн. лет |
| Вмещающий комплекс      |                      |      |       |                                      |                                      |          |                                |          |
| k-86a                   | Монцогаббро          | 5.56 | 27.32 | 0.122953                             | $0.512498 \pm 14$                    | 480      | 1.8                            |          |
| k-75                    | То же                | 7.94 | 43.74 | 0.109766                             | $0.512478 \pm 19$                    | 480      | 2.2                            |          |
| k-90                    | Монцодиорит          | 5.24 | 27.53 | 0.115075                             | $0.512560 \pm 26$                    | 470      | 3.4                            | 914      |
| k-87v                   | Монцонит             | 3.26 | 20.86 | 0.094395                             | $0.512478 \pm 17$                    | 470      | 3.0                            | 860      |
| k-88b                   | Кварцевый монцонит   | 7.05 | 44.62 | 0.095447                             | $0.512501 \pm 24$                    | 470      | 3.4                            | 839      |
| k-82                    | Лейкогранит          | 1.64 | 10.61 | 0.093367                             | $0.512400 \pm 26$                    | 420      | 0.9                            | 952      |
| Порфировый комплекс     |                      |      |       |                                      |                                      |          |                                |          |
| k-81v                   | Монцогаббро-порфирит | 8.91 | 52.03 | 0.103562                             | $0.512407 \pm 23$                    | 405      | 0.3                            |          |
| k-64                    | Гранит-порфир        | 1.64 | 13.21 | 0.075198                             | $0.512361 \pm 22$                    | 390      | 0.7                            | 870      |
| Комплекс девонских даек |                      |      |       |                                      |                                      |          |                                |          |
| k-93a                   | Диабазовый порфир    | 4.91 | 24.93 | 0.119067                             | $0.512653 \pm 30$                    | 370      | 4.0                            |          |
| k-86                    | Сиенит-порфир        | 4.15 | 27.86 | 0.089985                             | $0.512507 \pm 24$                    | 360      | 2.4                            | 794      |

Примечание. Изотопный анализ Sm и Nd проведен в лаборатории геохронологии Геологического института KHЦ PAH по методикам [6]. Исследования выполнены на многоколлекторном масс-спектрометре "Finnigan MAT-262" (RPQ) в статическом режиме измерений. Точность определения концентраций Sm и Nd составила  $\pm 0.2\%$  ( $2\sigma$ ), изотопных отношений  $^{147}$ Sm/ $^{144}$ Nd  $\pm 0.2\%$  ( $2\sigma$ ), точность определения  $^{143}$ Nd/ $^{144}$ Nd ( $2\sigma$ ) указана в таблице. За период измерений средние значения  $^{143}$ Nd/ $^{144}$ Nd по стандартам составили: La Jolla (N=11)  $0.511833\pm 6$  ( $2\sigma$ ), Jindil (N=44)  $0.512072\pm 2$  ( $2\sigma$ ). При расчете величин  $\epsilon_{\rm Nd}$  и модельных возрастов  $T({\rm DM})$  использованы современные значения для однородного хондритового резервуара (CHUR) ( $^{143}$ Nd/ $^{144}$ Nd = 0.512638,  $^{147}$ Sm/ $^{144}$ Nd = 0.1967) и деплетированной мантии (DM) ( $^{143}$ Nd/ $^{144}$ Nd = 0.513151,  $^{147}$ Sm/ $^{144}$ Nd = 0.2136).



**Рис. 3.** Диаграмма  $\epsilon_{
m Nd}-T$ для пород СМЦ. DM — деплетированная мантия, CHUR — однородный хондритовый резервуар. Показаны тренды эволюции изотопного состава Nd базитов.



**Рис. 4.** Распределение редкоземельных элементов в породах вмещающего комплекса и рудоносных порфирах СМЦ. Содержания элементов нормированы по [7]. 1 – монцогаббро; 2 – монцодиорит; 3 – монцонит; 4, 5 – лейкогранит; 6 – рудоносный порфир.

Значения  $\varepsilon_{\rm Nd}(T)$  монцогаббро составляют +1.8 и +2.2 соответственно. Согласно этим оценкам, источником базальтоидной магмы при формировании вмещающего комплекса СМЦ был относительно слабо деплетированный мантийный резервуар.

В монцонитоидах вмещающего комплекса значения  $\varepsilon_{\rm Nd}(T)$  относительно монцогаббро повышаются и составляют в монцодиоритах +3.4, монцонитах +3.0, кварцевых монцонитах +3.4. Монцонитоиды в основном наследуют геохимические характеристики габброидов (рис. 4). Изо-

топные составы Sr габброидов и монцонитоидов стабильны и их значения перекрываются: отношения <sup>87</sup>Sr/<sup>86</sup>Sr составляют 0.7043—0.7044 и 0.7043—0.7045 в апатитах монцонитоидов и габброидов соответственно [8]. С ростом количества SiO<sub>2</sub> от габброидов к монцонитоидам и уменьшением содержаний мафических породообразующих оксидов и совместимых микроэлементов увеличиваются количества щелочей, Ва и высокозарядных микроэлементов (Zr, Hf, U, Th, Y), что дает основание для предположения о формировании монцонитоидного расплава в процессе фракционной кристаллизации базальтоидной магмы.

Относительно низкие значения  $mg^{\#}$  (<60) и содержания совместимых микроэлементов (Ni < < 75 ppm) габброидов указывают на то, что породы кристаллизовались не из первичной базальтоидной магмы, а ее деривата, сформировавшегося в процессе дифференциации. Крутой наклон спектра в области MREE и HREE свидетельствует о равновесии расплава с минералами, концентрирующими средние и тяжелые REE. Носителями средних редких земель в базитах являются пироксен и амфибол, тяжелых – гранат. Согласно [9], в водосодержащем базальтовом расплаве, формирующемся в условиях литосферы континентальных окраин, амфибол и пироксен устойчивы в широком диапазоне давлений: пироксен при  $P \le 28$  кбар, амфибол при  $P \le 26$  кбар. Гранат стабилен при  $P \ge 23$  кбар. Данные по распределению редких земель в габброидах позволяют предполагать, что базальтоидный расплав поступал с глубины около 70 км и его подъем к поверхности сопровождался фракционированием амфибола и пироксена.

Спектры REE монцонитоидов с крутым наклоном в области MREE и субгоризонтальным в области HREE доказывают, что они кристаллизовались из магмы, испытавшей фракционирование амфибола и/или пироксена в отсутствии граната. В водонасыщенном андезитовом расплаве гранат на ликвидусе появляется при 15.5 кбар; амфибол устойчив до 18 кбар при T < 950°C и является единственной силикатной фазой при  $P \le$ ≤ 15.5 кбар [9]. Эти данные позволяют предполагать, что распределение MREE в материнском расплаве монцонитоидов контролировалось преимущественно амфиболом. Пик Sr на спайдердиаграммах и отсутствие отрицательной аномалии Eu на спектрах REE в монцонитоидах свидетельствуют о кристаллизации амфибола в отсутствии плагиоклаза, возможном, согласно экспериментальным данным, при P > 8 кбар [10]. Все это предполагает формирование монцонитоидной магмы в процессе дифференциации базальтоидной магмы, обусловленной фракционированием амфибола, при 15.5 > P > 8 кбар, т.е. в глубинном интервале  $\sim 45-25$  км, соответствующем нижней и средней коре.

Вместе с тем отмеченное выше повышение значений  $\varepsilon_{\mathrm{Nd}}(T)$  в монцонитоидах относительно монцогаббро, очевидно, следует связывать с изотопной неоднородностью мантии, локально преобразованной на субдукционном этапе расплавами и флюидами, поступавшими из области плавления слэба. Возможно также, что изменение изотопного состава Nd монцонитоидов относительно габброидов вызвано участием в магматическом процессе новообразованной каледонской коры, характеризующейся преобладанием вещества деплетированной мантии [11] и значениями  $\varepsilon_{\mathrm{Nd}}$  (480 млн. лет) около +7 [12].

В лейкогранитах  $\varepsilon_{Nd}(T)$  снижается до +0.9. На диаграмме  $\varepsilon_{\mathrm{Nd}}$ —T лейкограниты удалены от монцонитоидов и расположены вблизи тренда эволюции изотопного состава Nd габбро k-86a, что, по-видимому, обусловлено генетическим родством этих пород. Последнее подтверждается изотопными составами Sr. Значение  $(^{87}Sr)^{86}Sr)_0$ лейкогранитов по изохроне, составляющее 0.7046 [13], совпадает с изотопным составом Sr в апатитах габбро. Большой временной разрыв между лейкогранитами и габбро (не менее 40 млн. лет) не позволяет допускать образование кислого расплава в процессе кристаллизационной дифференциации базальтоидной магмы. По-видимому, формирование лейкогранитовой магмы происходило в связи с парциальным плавлением предшествующих базитов на фоне реактивизации мантийных процессов при переходе региона к девонскому рифтогенному этапу развития.

Крутой наклон спектров REE лейкогранитов ((La/Yb)<sub>n</sub> до 27) указывает на то, что при плавлении базитов лейкогранитовая магма находилась в равновесии с амфиболом и гранатом в рестите. Такая минеральная ассоциация в кристаллическом остатке при плавлении базитов образуется при  $P \ge 10-12$  кбар [10], что соответствует нижнекоровому глубинному уровню.

Исследователи Кузнецкого Алатау связывают развитие батолитов пестрого состава с плавлением коры на фоне резкой активизации мантийных процессов [13]. Приведенные выше данные по вмещающему комплексу свидетельствуют о том, что становление Уйбатского плутона (в районе СМЦ) происходило так же, как и андийских батолитов [14], на фоне многократного поступления магм из мантии, нижней и средней коры. Расплавы повышенной основности формировались преимущественно в процессе кристаллизационной дифференциации базальтоидной магмы. Образование лейкогранитовой магмы произошло в свя-

зи с плавлением ранее закристаллизовавшихся базитов.

Значение  $\varepsilon_{\mathrm{Nd}}(T)$  монцогаббро-порфиритов (k-81b) составляет +0.3, рудоносных гранит-порфиров (k-64) +0.7. На рис. 3 порфириты лежат вблизи тренда изотопного состава Nd монцогаббро, что свидетельствует о близких по составу источниках или общем мантийном резервуаре. Рудоносные гранит-порфиры (k-64) по параметру  $\varepsilon_{\rm Nd}(T)$  близки к лейкогранитам и так же расположены вблизи тренда эволюции изотопного состава Nd монцогаббро и монцогаббро-порфиритов, что дает основание предполагать образование гранит-порфиров, как и лейкогранитов, за счет предшествующих базитов. Возможен второй вариант, связанный с реактивизацией промежуточного очага лейкогранитовой магмы в результате теплового воздействия базальтоидной магмы, фиксируемой дорудными дайками базитов. Повидимому, оба варианта магматического процесса, отвечающие разным глубинным уровням, могли внести существенный вклад в развитие порфирового магматизма и его рудоносности.

По изотопному составу Nd девонские диабазовые порфириты существенно отличаются от базитов вмещающего и порфирового комплексов СМЦ. Значение  $\varepsilon_{\rm Nd}(T)$  девонских порфиритов составляет +4.0. По этой характеристике девонские дайки приближаются к мафит-ультрамафитовым комплексам Кузнецкого Алатау, проявившимся в центре ареалов внутриплитного магматизма [15].

Сиенит-порфирам девонского дайкового комплекса соответствует значение  $\varepsilon_{\rm Nd}(T)+2.4$ . Столь значительное отклонение этого параметра от диабазов не позволяет допускать ведущую роль в их образовании кристаллизационной дифференциации девонской базальтоидной магмы. На рис. 3 фигуративная точка сиенит-порфиров лежит на линии эволюции изотопного состава монцонита вмещающего комплекса. Модельный возраст  $T({\rm DM})$  сиенит-порфиров, составляющий 933 млн. лет, близок к монцонитоидам плутона (табл. 1). В связи с этим можно предположить, что источником сиенит-порфировой магмы девонских даек могли быть монцонитоиды вмещающего комплекса и/или породы их источника.

Таким образом, выявленные особенности изотопного состава Nd пород вмещающего и порфирового комплексов, а также их геохимические характеристики свидетельствуют об образовании лейкогранитов и рудоносных порфиров в результате частичного плавления предшествующих базитов. Монцонитоиды являются продуктами фракционной кристаллизации базальтоидной магмы. Источником габброидов вмещающего и порфирового комплексов была слабо деплетиро-

ванная мантия. Эта мантия рассматривается как первичный источник для лейкогранитов и рудоносных порфиров опосредованно через предшествующие базиты, из которых они выплавлялись. В формировании монцонитоидов вмещающего комплекса принимала участие также мантия, измененная на субдукционном этапе в результате взаимодействия с расплавами, отделявшимися от слэба, представленного базальтами типа MORB с более высокими значениями  $\varepsilon_{\rm Nd}$ . Базитовые дайки девонского комплекса, сопоставляемые с вулканитами внутриплитного магматизма Кузнецкого Алатау, связаны с умеренно деплетированной мантией.

Результаты проведенных исследований позволяют оценить роль базитовой и кислой магмы в формировании рудного потенциала СМЦ. В мантийно-коровых системах медь и молибден транспортируются базальтоидной магмой из мантии в кору, где в процессе многоэтапного развития магматизма происходит перераспределение рудных элементов, концентрирование и мобилизация поздними расплавами и флюидами. В СМЦ благоприятные условия для концентрирования металлов создавались при массовом фракционировании амфибола (минерала-носителя металлов) из базальтоидных расплавов при внедрении в кору и частичном плавлении базитов в нижней-средней коре, сопровождавшемся перераспределением металлов в образующийся флюидосодержащий расплав. Обогащенные амфиболом породы в низах коры рассматриваются как потенциальный источник рудоносных флюидов, вовлекаемых в эндогенный процесс на этапе развития лейкогранитов и рудоносных гранит-порфиров.

Авторы выражают искреннюю благодарность акад. Н.Л. Добрецову и д.г.-м.н. О.М. Туркиной за обсуждение затронутых в работе вопросов, а также д.г.-м.н. Т.Б. Баяновой за содействие в проведении Sm—Nd-изотопных исследований.

Работа выполнена при финансовой поддержке РФФИ (проект 07—05—00664).

## СПИСОК ЛИТЕРАТУРЫ

- 1. *Добрецов Н.Л.* // Геология и геофизика. 2003. Т. 44. № 12. С. 1243—1261.
- 2. Ярмолюк В.В., Коваленко В.И. // Петрология. 2003. Т. 11. № 6. С. 556—586.
- Сотников В.И., Пономарчук В.А., Шевченко Д.О. и др. // Геология и геофизика. 2001. Т. 42. № 5. С. 786–801.
- Берзина А.П., Сотников В.И., Берзина А.Н., Гимон В.О. // Геохимия. 1999. № 11. С. 1151–1166.
- Middlemost E.A.K. // Earth-Sci. Revs. 1994. V. 37. P. 215–224.

- 6. *Баянова Т.Б.* Возраст реперных геологических комплексов Кольского региона и длительность процессов магматизма. СПб.: Наука, 2004. 174 с.
- McDonough W.F., Sun S.-S. // Chem. Geol. 1995.
   V. 120. P. 223–253.
- 8. *Сотников В.И., Пономарчук В.А., Берзина А.Н. и др.* // Геология и геофизика. 2000. Т. 41. № 8. С. 1112—1123.
- Allen J.C., Boettcher A.L. // Amer. Miner. 1983. V. 68. P. 307–314.
- 10. *Rapp R.P.*, *Watson E.B.* // J. Petrol. 1995. V. 36. P. 891–931.
- 11. *Владимиров А.Г., Крук Н.Н., Руднев С.Н., Хромых С.В.* // Геология и геофизика. 2003. Т. 44. № 12. С. 1321—1338.
- 12. Ярмолюк В.В., Коваленко В.И., Ковач В.П. и др. // ДАН. 2002. Т. 387. № 3. С. 387—392.
- 13. Сотников В.И., Травин А.В., Берзина А.П., Пономарчук В.А. // ДАН. 1995. Т. 343. № 2. С. 225–228.
- 14. *Annen C., Blundy J.D., Sparks S.J.* // J. Petrol. 2006. V. 47. № 3. P. 505–539.
- 15. Врублевский В.В., Гертнер И.Ф., Владимиров А.Г. и др. // ДАН. 2004. Т. 398. № 3. С. 374—378.